

Emmanuel FRENOD<sup>a</sup>, Alexandre MOUTON<sup>b</sup>, Eric SONNENDRUCKER<sup>b</sup>

<sup>a</sup> LEMEL, Université de Bretagne Sud, Vannes

Laboratoire d'Etude et de Modélisation des Environnements Littoraux

<sup>b</sup> IRMA, Université Louis Pasteur, Strasbourg

Institut de Recherche Mathématique Avancée

frenod@univ-ubs.fr, mouton@math.u-strasbg.fr, sonnen@math.u-strasbg.fr

## 1 Introduction

De nombreuses méthodes numériques ont été développées pour les équations d'Euler aussi bien compressibles qu'incompressibles. Cependant, la zone de transition, i.e. les équations d'Euler faiblement compressibles posent problème à la plupart des solveurs. Nous proposerons ici une approche originale pour résoudre ce problème sur les équations d'Euler 1D isentropiques faiblement compressibles (EIFC) :

- on utilise la théorie de l'homogénéisation 2 échelles de G. Allaire et G. N'Guetseng pour développer un nouveau modèle lorsque le nombre de Mach tend vers 0,
- on résout numériquement ce nouveau modèle à l'aide d'une méthode de volumes finis (on utilise une linéarisation de Roe),
- on compare ces résultats numériques à ceux obtenus à partir d'une résolution directe du modèle de départ (méthode de volumes finis et linéarisation de Roe).

## 2 Homogénéisation 2 échelles des équations EIFC

### 2.1 Modèle de départ

On part du modèle de Navier-Stokes 1D introduit par Grenier[2] :

$$\partial_t u^\epsilon - \alpha \partial_x^2 u^\epsilon + \frac{1}{2} \partial_x ((u^\epsilon)^2) + \frac{\partial_x (p(\tilde{\rho}^\epsilon))}{\epsilon^2 \tilde{\rho}^\epsilon} = 0 \quad (1)$$

$$\partial_t \tilde{\rho}^\epsilon + \partial_x (\tilde{\rho}^\epsilon u^\epsilon) = 0 \quad (2)$$

$$u^\epsilon|_{t=0} = u_0^\epsilon \quad (3)$$

$$\tilde{\rho}^\epsilon|_{t=0} = \tilde{\rho}_0^\epsilon \quad (4)$$

Puis on pose

$$\rho^\epsilon = \frac{\tilde{\rho}^\epsilon - 1}{\epsilon} \quad \text{et} \quad q^\epsilon(\rho^\epsilon) = \frac{p''(1) - 2}{2} (\rho^\epsilon)^2 + \epsilon q_1^\epsilon(\rho^\epsilon)$$

en supposant que la pression  $p$  soit suffisamment régulière, que  $p'(1) = 1$  et que  $q_1^\epsilon(\rho^\epsilon)$  soit dérivable au moins une fois en  $\rho^\epsilon$ . On obtient

$$\partial_t u^\epsilon - \alpha \partial_x^2 u^\epsilon + \frac{1}{2} \partial_x ((u^\epsilon)^2) + \partial_x (q^\epsilon(\rho^\epsilon)) + \frac{1}{\epsilon} \partial_x \rho^\epsilon = 0 \quad (5)$$

$$\partial_t \rho^\epsilon + \partial_x (\rho^\epsilon u^\epsilon) + \frac{1}{\epsilon} \partial_x u^\epsilon = 0 \quad (6)$$

$$u^\epsilon|_{t=0} = u_0^\epsilon \quad (7)$$

$$\rho^\epsilon|_{t=0} = \rho_0^\epsilon \quad (8)$$

**Théorème 1** (E. Grenier). *Supposons que les suites  $(u_0^\epsilon)_{\epsilon>0}$  et  $(\rho_0^\epsilon)_{\epsilon>0}$  soient dans  $H^s(\mathbb{T}^1)$  ( $s > 3/2$ ) et qu'elles convergent fortement dans cet espace vers  $u_0$  et  $\rho_0$  respectivement. Alors il existe un  $T > 0$  tel que le système (5)-(8) admet des solutions  $u^\epsilon, \rho^\epsilon$  dans  $C^0([0, T]; H^s(\mathbb{T}^1))$  bornées indépendamment de  $\epsilon$  dans cet espace.*

### 2.2 Homogénéisation 2 échelles

Dans toute la suite on suppose que  $u_0^\epsilon = u_0, \rho_0^\epsilon = \rho_0$  et on suppose que la pression  $p$  est définie par  $p(\rho) = \frac{\rho^\gamma}{\gamma}$  où  $\gamma$  est le coefficient adiabatique du fluide étudié. On définit les fonctions suivantes :

$$f^\epsilon(x, t) = \left( u^\epsilon \left( x + \frac{t}{\epsilon}, t \right) + \rho^\epsilon \left( x + \frac{t}{\epsilon}, t \right) - \frac{\bar{u} + \bar{\rho}}{2\pi} \right)$$

$$b^\epsilon(x, t) = \left( u^\epsilon \left( x - \frac{t}{\epsilon}, t \right) - \rho^\epsilon \left( x - \frac{t}{\epsilon}, t \right) - \frac{\bar{u} - \bar{\rho}}{2\pi} \right)$$

avec  $\bar{u} = \int_{\mathbb{T}^1} u_0(x) dx$  et  $\bar{\rho} = \int_{\mathbb{T}^1} \rho_0(x) dx$ . De plus, on a les conditions initiales suivantes :

$$f^\epsilon(x, 0) = \left( u_0(x) + \rho_0(x) - \frac{\bar{u} + \bar{\rho}}{2\pi} \right)$$

$$b^\epsilon(x, 0) = \left( u_0(x) - \rho_0(x) - \frac{\bar{u} - \bar{\rho}}{2\pi} \right)$$

Alors  $f^\epsilon$  et  $b^\epsilon$  vérifient :

$$2 \partial_t f^\epsilon + \epsilon \partial_x \left( q_1^\epsilon \left( f^\epsilon \left( x, t \right) - b^\epsilon \left( x + \frac{2t}{\epsilon}, t \right) + \frac{\bar{\rho}}{2\pi} \right) \right) + \partial_x \left( \frac{p''(1)+2}{2} (f^\epsilon)^2 + \frac{p''(1)-2}{2} (b^\epsilon \left( x + \frac{2t}{\epsilon}, t \right))^2 \right) + \frac{2\bar{u} + p''(1)\bar{\rho}}{2\pi} f^\epsilon + \frac{(2-p''(1))\bar{\rho}}{2\pi} b^\epsilon \left( x + \frac{2t}{\epsilon}, t \right) = 0$$

$$2 \partial_t b^\epsilon + \epsilon \partial_x \left( q_1^\epsilon \left( f^\epsilon \left( x - \frac{2t}{\epsilon}, t \right) - b^\epsilon \left( x, t \right) + \frac{\bar{\rho}}{2\pi} \right) \right) + \partial_x \left( \frac{p''(1)+2}{2} (b^\epsilon)^2 + \frac{p''(1)-2}{2} (f^\epsilon \left( x - \frac{2t}{\epsilon}, t \right))^2 \right) + \frac{2\bar{u} - p''(1)\bar{\rho}}{2\pi} b^\epsilon - \frac{(2-p''(1))\bar{\rho}}{2\pi} f^\epsilon \left( x - \frac{2t}{\epsilon}, t \right) = 0$$

Les suites  $(f^\epsilon)_{\epsilon>0}$  et  $(b^\epsilon)_{\epsilon>0}$  étant bornées dans  $L^2(0, T; H^s(\mathbb{T}^1))$ , elles admettent des limites faibles dans cet espace, notées  $F$  et  $B$  respectivement, lorsque  $\epsilon \rightarrow 0$ . Alors en multipliant les équations ci-dessus par une fonction test  $\varphi$  sur  $[0, T] \times \mathbb{T}^1$  et en faisant tendre  $\epsilon$  vers 0, on obtient :

$$-2 \int_{\mathbb{T}^1} F(x, 0) \varphi(x, 0) dx = \int_0^T \int_{\mathbb{T}^1} 2F \partial_t \varphi dx dt + \int_0^T \int_{\mathbb{T}^1} \left( \frac{p''(1)+2}{2} F^2 + \frac{2\bar{u} + p''(1)\bar{\rho}}{2\pi} F \right) \partial_x \varphi dx dt$$

$$-2 \int_{\mathbb{T}^1} B(x, 0) \varphi(x, 0) dx = \int_0^T \int_{\mathbb{T}^1} 2B \partial_t \varphi dx dt + \int_0^T \int_{\mathbb{T}^1} \left( \frac{p''(1)+2}{2} B^2 + \frac{2\bar{u} - p''(1)\bar{\rho}}{2\pi} B \right) \partial_x \varphi dx dt$$

ce qui est la formulation faible de

$$2 \partial_t F + \partial_x \left( \frac{p''(1)+2}{2} F^2 + \frac{2\bar{u} + p''(1)\bar{\rho}}{2\pi} F \right) = 0 \quad (9)$$

$$F(x, 0) = \frac{1}{2} \left( u_0(x) + \rho_0(x) - \frac{\bar{u} + \bar{\rho}}{2\pi} \right) \quad (10)$$

$$2 \partial_t B + \partial_x \left( \frac{p''(1)+2}{2} B^2 + \frac{2\bar{u} - p''(1)\bar{\rho}}{2\pi} B \right) = 0 \quad (11)$$

$$B(x, 0) = \frac{1}{2} \left( u_0(x) - \rho_0(x) - \frac{\bar{u} - \bar{\rho}}{2\pi} \right) \quad (12)$$

dans  $L^2(0, T; H^s(\mathbb{T}^1))$ .

Enfinement, on pose

$$U(x, \tau, t) = F(x - \tau, t) + B(x + \tau, t) + \frac{\bar{u}}{2\pi}$$

$$R(x, \tau, t) = F(x - \tau, t) - B(x + \tau, t) + \frac{\bar{\rho}}{2\pi}$$

En utilisant la théorie de G. Allaire[1], on constate que ces fonctions sont les limites 2 échelles des suites  $(u^\epsilon)_{\epsilon>0}$  et  $(\rho^\epsilon)_{\epsilon>0}$  dans  $L^2([0, T] \times \mathbb{T}^1; H^s(\mathbb{T}^1))$ . Enfin, on a le résultat suivant :

**Théorème 2.** *Si  $s > 3/2$ , alors il existe 2 constantes  $C, C' > 0$  telles que pour tout  $\epsilon > 0$ , on ait :*

$$\int_0^T \|u^\epsilon(\cdot, t) - U(\cdot, \frac{t}{\epsilon}, t)\|_{L^2(\mathbb{T}^1)}^2 dt \leq C\epsilon^2 \quad (13)$$

$$\int_0^T \|\rho^\epsilon(\cdot, t) - R(\cdot, \frac{t}{\epsilon}, t)\|_{L^2(\mathbb{T}^1)}^2 dt \leq C'\epsilon^2 \quad (14)$$

## 3 Résolution numérique du modèle homogénéisé

L'objectif est donc d'approcher les solutions  $u^\epsilon(x, t), \rho^\epsilon(x, t)$  du système (5)-(8) par des approximations de  $U(x, \frac{t}{\epsilon}, t)$  et  $R(x, \frac{t}{\epsilon}, t)$ . Pour la résolution des 2 systèmes, nous utiliserons une méthode de volumes finis avec linéarisation de Roe (voir [3]).

– On résout numériquement le système (1)-(4) et on approche  $u^\epsilon$  et  $\rho^\epsilon$  et on en déduit une approximation de  $\rho^\epsilon$ .

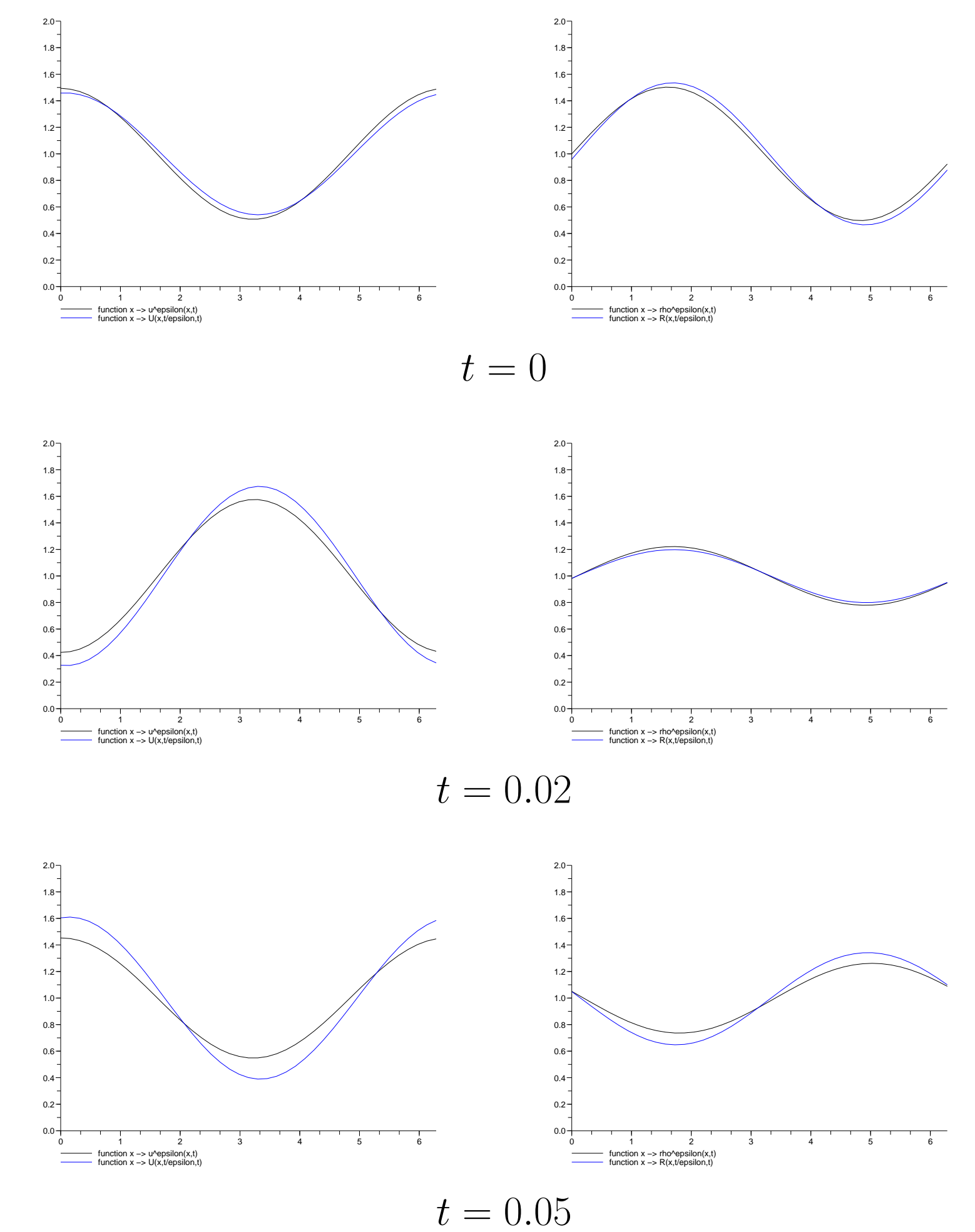
On note ces résultats  $u_h^\epsilon$  et  $\rho_h^\epsilon$ .

– On résout numériquement le système (9)-(12) en  $F$  et  $B$ , et on reconstruit  $U$  et  $R$ . On en déduit alors une approximation de  $(x, t) \mapsto U(x, \frac{t}{\epsilon}, t)$  et  $(x, t) \mapsto R(x, \frac{t}{\epsilon}, t)$ .

On note ces résultats  $U_h^\epsilon$  et  $R_h^\epsilon$ .

– On compare  $u_h^\epsilon$  à  $U_h^\epsilon$  et  $\rho_h^\epsilon$  à  $R_h^\epsilon$ .

**Exemple 3.** Avec  $u_0(x) = 1 + \frac{\sin(x)}{2}$  et  $\rho_0(x) = 1 + \frac{\cos(x)}{2}$ ,  $\gamma = 1$ ,  $T = 10^{-2}$ , 40 points en  $x$  et  $10^3$  points en  $t$ .



Nous avons comparé les temps de calculs sur un cas construit à partir des conditions suivantes :  $u_0 = 1 + \frac{\cos(x)}{2}$  et  $\tilde{\rho}_0(x) = 1 + \frac{\sin(x)}{2}$ , ainsi que  $\gamma = 1, T = 1$  :

Valeur de $\epsilon$	Système (9)-(12)		Système (1)-(4)
	$N_t = 100$	$N_t = 1000$	
$10^{-2}$	4 sec 2'	41 sec 1'	4 sec 7' ( $N_t = 10^3$ )
$10^{-3}$	4 sec 3'	42 sec 6'	51 sec 6' ( $N_t = 10^4$ )
$10^{-4}$	4 sec 2'	40 sec 3'	16 min 9 sec ( $N_t = 10^5$ )

La cause de ce problème est que la condition CFL est en  $\frac{1}{\epsilon}$  pour le système (1)-(4), alors qu'elle est indépendante de  $\epsilon$  pour le système (9)-(12).

## 4 Bibliographie

- [1] ALLAIRE, G. Homogenization and two-scale convergence. *SIAM J. Math. Anal.* 23, 6 (1992), 1482-1518.
- [2] GRENIER, E. Oscillatory perturbation of the Navier-Stokes equations. *J. Math. Pures. Appl.* 76 (2001), 477-498.
- [3] LEVEQUE, R. Finite volume methods for hyperbolic problems, *Cambridge texts in Applied mathematics* (2002).